

Starkniederschlagshöhen und -spenden gemäß KOSTRA-DWD-2020

Rasterfeld 180098

(Zeile 180, Spalte 98)

Regenspende und Bemessungsniederschlagswerte in Abhängigkeit von Wiederkehrzeit T und Dauerstufe D

| Dauerstufe D | | Wiederkehrzeit T | | | | | | | | | | | | | | | | | |
|--------------|-----|------------------|------------|------|------------|------|------------|------|------------|-------|------------|-------|------------|-------|------------|-------|------------|-------|------------|
| | | 1 a | | 2 a | | 3 a | | 5 a | | 10 a | | 20 a | | 30 a | | 50 a | | 100 a | |
| min | Std | mm | l / (s ha) | mm | l / (s ha) | mm | l / (s ha) | mm | l / (s ha) | mm | l / (s ha) | mm | l / (s ha) | mm | l / (s ha) | mm | l / (s ha) | mm | l / (s ha) |
| 5 | | 6,6 | 220,0 | 8,0 | 266,7 | 8,9 | 296,7 | 10,1 | 336,7 | 11,8 | 393,3 | 13,5 | 450,0 | 14,7 | 490,0 | 16,2 | 540,0 | 18,3 | 610,0 |
| 10 | | 8,6 | 143,3 | 10,5 | 175,0 | 11,6 | 193,3 | 13,2 | 220,0 | 15,4 | 256,7 | 17,7 | 295,0 | 19,2 | 320,0 | 21,1 | 351,7 | 23,9 | 398,3 |
| 15 | | 9,8 | 108,9 | 12,0 | 133,3 | 13,4 | 148,9 | 15,1 | 167,8 | 17,7 | 196,7 | 20,3 | 225,6 | 22,0 | 244,4 | 24,3 | 270,0 | 27,5 | 305,6 |
| 20 | | 10,8 | 90,0 | 13,2 | 110,0 | 14,7 | 122,5 | 16,6 | 138,3 | 19,4 | 161,7 | 22,3 | 185,8 | 24,2 | 201,7 | 26,6 | 221,7 | 30,2 | 251,7 |
| 30 | | 12,2 | 67,8 | 15,0 | 83,3 | 16,6 | 92,2 | 18,8 | 104,4 | 22,0 | 122,2 | 25,3 | 140,6 | 27,4 | 152,2 | 30,2 | 167,8 | 34,2 | 190,0 |
| 45 | | 13,8 | 51,1 | 16,9 | 62,6 | 18,8 | 69,6 | 21,2 | 78,5 | 24,8 | 91,9 | 28,5 | 105,6 | 30,9 | 114,4 | 34,1 | 126,3 | 38,6 | 143,0 |
| 60 | 1 | 15,0 | 41,7 | 18,4 | 51,1 | 20,4 | 56,7 | 23,1 | 64,2 | 27,0 | 75,0 | 31,0 | 86,1 | 33,6 | 93,3 | 37,1 | 103,1 | 42,0 | 116,7 |
| 90 | 1,5 | 16,9 | 31,3 | 20,6 | 38,1 | 22,9 | 42,4 | 26,0 | 48,1 | 30,3 | 56,1 | 34,8 | 64,4 | 37,8 | 70,0 | 41,6 | 77,0 | 47,2 | 87,4 |
| 120 | 2 | 18,3 | 25,4 | 22,4 | 31,1 | 24,9 | 34,6 | 28,2 | 39,2 | 32,9 | 45,7 | 37,8 | 52,5 | 41,0 | 56,9 | 45,2 | 62,8 | 51,2 | 71,1 |
| 180 | 3 | 20,5 | 19,0 | 25,1 | 23,2 | 27,9 | 25,8 | 31,5 | 29,2 | 36,9 | 34,2 | 42,3 | 39,2 | 45,9 | 42,5 | 50,6 | 46,9 | 57,3 | 53,1 |
| 240 | 4 | 22,2 | 15,4 | 27,2 | 18,9 | 30,2 | 21,0 | 34,2 | 23,8 | 39,9 | 27,7 | 45,9 | 31,9 | 49,7 | 34,5 | 54,8 | 38,1 | 62,1 | 43,1 |
| 360 | 6 | 24,9 | 11,5 | 30,4 | 14,1 | 33,8 | 15,6 | 38,3 | 17,7 | 44,7 | 20,7 | 51,3 | 23,8 | 55,7 | 25,8 | 61,4 | 28,4 | 69,5 | 32,2 |
| 540 | 9 | 27,9 | 8,6 | 34,0 | 10,5 | 37,8 | 11,7 | 42,8 | 13,2 | 50,0 | 15,4 | 57,4 | 17,7 | 62,3 | 19,2 | 68,7 | 21,2 | 77,8 | 24,0 |
| 720 | 12 | 30,2 | 7,0 | 36,8 | 8,5 | 40,9 | 9,5 | 46,3 | 10,7 | 54,1 | 12,5 | 62,2 | 14,4 | 67,4 | 15,6 | 74,3 | 17,2 | 84,2 | 19,5 |
| 1080 | 18 | 33,7 | 5,2 | 41,2 | 6,4 | 45,8 | 7,1 | 51,8 | 8,0 | 60,5 | 9,3 | 69,5 | 10,7 | 75,4 | 11,6 | 83,1 | 12,8 | 94,2 | 14,5 |
| 1440 | 24 | 36,5 | 4,2 | 44,6 | 5,2 | 49,5 | 5,7 | 56,1 | 6,5 | 65,5 | 7,6 | 75,3 | 8,7 | 81,6 | 9,4 | 90,0 | 10,4 | 101,9 | 11,8 |
| 2880 | 48 | 44,2 | 2,6 | 53,9 | 3,1 | 60,0 | 3,5 | 67,9 | 3,9 | 79,3 | 4,6 | 91,1 | 5,3 | 98,8 | 5,7 | 108,9 | 6,3 | 123,4 | 7,1 |
| 4320 | 72 | 49,4 | 1,9 | 60,3 | 2,3 | 67,0 | 2,6 | 75,9 | 2,9 | 88,7 | 3,4 | 101,8 | 3,9 | 110,4 | 4,3 | 121,7 | 4,7 | 137,9 | 5,3 |
| 5760 | 96 | 53,5 | 1,5 | 65,2 | 1,9 | 72,5 | 2,1 | 82,1 | 2,4 | 96,0 | 2,8 | 110,2 | 3,2 | 119,5 | 3,5 | 131,8 | 3,8 | 149,3 | 4,3 |
| 7200 | 120 | 56,8 | 1,3 | 69,4 | 1,6 | 77,1 | 1,8 | 87,3 | 2,0 | 102,0 | 2,4 | 117,2 | 2,7 | 127,1 | 2,9 | 140,1 | 3,2 | 158,7 | 3,7 |
| 8640 | 144 | 59,8 | 1,2 | 72,9 | 1,4 | 81,1 | 1,6 | 91,8 | 1,8 | 107,3 | 2,1 | 123,2 | 2,4 | 133,6 | 2,6 | 147,3 | 2,8 | 166,9 | 3,2 |
| 10080 | 168 | 62,3 | 1,0 | 76,1 | 1,3 | 84,6 | 1,4 | 95,8 | 1,6 | 111,9 | 1,9 | 128,5 | 2,1 | 139,4 | 2,3 | 153,7 | 2,5 | 174,1 | 2,9 |

Starkniederschlagshöhen und -spenden gemäß KOSTRA-DWD-2020

Rasterfeld 180098

(Zeile 180, Spalte 98)

Örtliche Unsicherheiten in Abhängigkeit von Wiederkehrzeit T und Dauerstufe D

| Dauerstufe D | | Wiederkehrzeit T | | | | | | | | |
|--------------|-----|------------------|-----|-----|-----|------|------|------|------|-------|
| | | 1 a | 2 a | 3 a | 5 a | 10 a | 20 a | 30 a | 50 a | 100 a |
| min | Std | ± % | ± % | ± % | ± % | ± % | ± % | ± % | ± % | ± % |
| 5 | | 14 | 15 | 15 | 16 | 17 | 17 | 18 | 18 | 19 |
| 10 | | 17 | 18 | 19 | 20 | 21 | 21 | 22 | 22 | 23 |
| 15 | | 18 | 20 | 21 | 21 | 22 | 23 | 24 | 24 | 25 |
| 20 | | 19 | 20 | 21 | 22 | 23 | 24 | 25 | 25 | 26 |
| 30 | | 19 | 21 | 22 | 23 | 24 | 25 | 25 | 26 | 26 |
| 45 | | 19 | 21 | 22 | 22 | 24 | 24 | 25 | 25 | 26 |
| 60 | 1 | 18 | 20 | 21 | 22 | 23 | 24 | 25 | 25 | 26 |
| 90 | 1,5 | 17 | 19 | 20 | 21 | 22 | 23 | 24 | 24 | 25 |
| 120 | 2 | 17 | 18 | 19 | 20 | 21 | 22 | 23 | 23 | 24 |
| 180 | 3 | 15 | 17 | 18 | 19 | 20 | 21 | 22 | 22 | 23 |
| 240 | 4 | 15 | 16 | 17 | 18 | 19 | 20 | 21 | 21 | 22 |
| 360 | 6 | 13 | 15 | 16 | 17 | 18 | 19 | 19 | 20 | 20 |
| 540 | 9 | 13 | 14 | 15 | 16 | 17 | 18 | 18 | 18 | 19 |
| 720 | 12 | 12 | 13 | 14 | 15 | 16 | 17 | 17 | 18 | 18 |
| 1080 | 18 | 12 | 13 | 13 | 14 | 15 | 16 | 16 | 17 | 17 |
| 1440 | 24 | 12 | 12 | 13 | 14 | 14 | 15 | 15 | 16 | 16 |
| 2880 | 48 | 13 | 13 | 13 | 13 | 14 | 14 | 15 | 15 | 15 |
| 4320 | 72 | 14 | 14 | 14 | 14 | 14 | 15 | 15 | 15 | 15 |
| 5760 | 96 | 15 | 15 | 14 | 15 | 15 | 15 | 15 | 15 | 16 |
| 7200 | 120 | 16 | 15 | 15 | 15 | 15 | 15 | 16 | 16 | 16 |
| 8640 | 144 | 17 | 16 | 16 | 16 | 16 | 16 | 16 | 16 | 16 |
| 10080 | 168 | 18 | 17 | 16 | 16 | 16 | 16 | 16 | 16 | 17 |

Parameter für abweichende T und D

Lokationsparameter ξ (Xi)

15,2688418

Skalenparameter α (Alpha)

4,68091838

Formparameter κ (Kappa)

-0,1

1. Koutsoyiannis-Parameter θ (Theta)

0,02059622

2. Koutsoyiannis-Parameter η (Eta)

0,72530055

Parameter für dauerstufenübergreifende Extremwertschätzung nach KOUTSOYIANNIS et al. 1998.

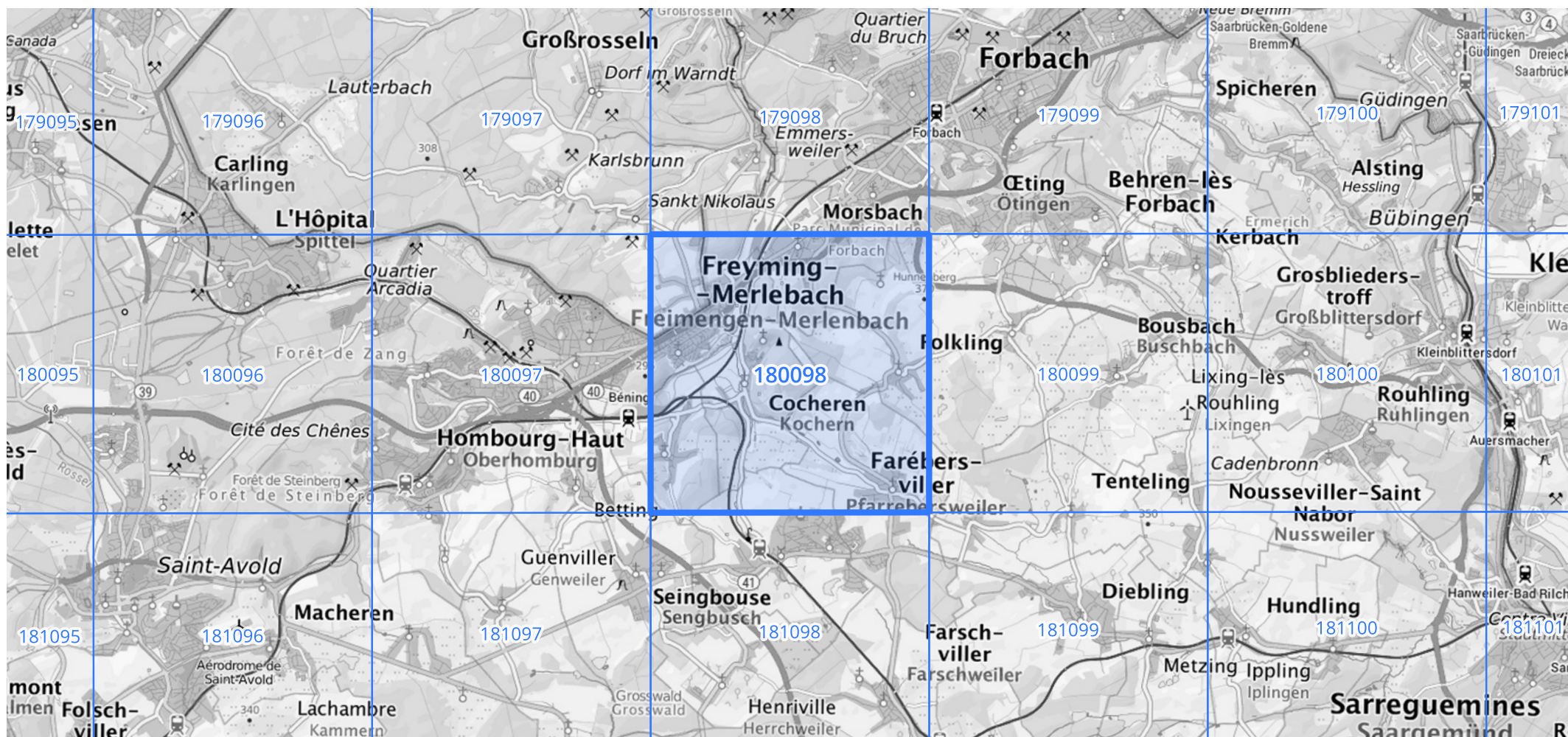
Siehe auch Anwendungshilfe zu KOSTRA-DWD-2020 des Deutschen Wetterdienstes.

Starkniederschlagshöhen und -spenden gemäß KOSTRA-DWD-2020

Rasterfeld 180098

(Zeile 180, Spalte 98)

Übersichtskarte des Rasterfeldes 180098, M 1 : 100 000



Quelle Rasterdaten: KOSTRA-DWD-2020 des Deutschen Wetterdienstes, Stand 12/2022.

Seite 3 von 3

Kartendarstellung: © Bundesamt für Kartographie und Geodäsie (2023), Datenquellen: https://sgx.geodatenzentrum.de/web_public/gdz/datenquellen/Datenquellen_TopPlusOpen.html

Für die Richtigkeit und Aktualität der Angaben wird keine Gewähr übernommen. Erstellt 01/2023.